

1、前言

大家好，今天我们讲Flow Matching，即流匹配。再讲解之前，您必须要了解之前讲过的两个概念——**神经常微分方程、连续归一化流**，因为Flow Matching就是建立在他们的基础上的

参考论文：[2210.02747] Flow Matching for Generative Modeling (arxiv.org)

参考代码：[①Simple reimplementation of Flow Matching for Generative Modeling](#)

[②Repository search results](#)

2、引入

在上期视频，我们讲了连续归一化流CNF，提到了其中的训练的方法与预测方法。从中我们不难发现，它里面存在一个比较严重的问题——**在训练的时候，它需要模拟ODE数值求解运算，这将导致训练速度大幅下降**

为了解决这个问题，改论文提出了**Flow Matching**

在讲解Flow Matching之前，让我们回顾一下Neural ODE

2.1、Neural ODE

假设，存在一个微分方程

$$\frac{dx(t)}{dt} = f(x(t), t, \theta) \quad (1)$$

我们可以通过数值解法（比如欧拉法）

$$x(t+1) = x(t) + h \times f(x(t), t, \theta)$$

现在，为了采取与论文一致的符号，我们来对Eq.(1)进行符号上的修改

对Eq.(1)，将 $x(t)$ 改写成 $\phi_t(x)$ ，微分函数 f 改写成 v ，同时为了简便，我们省去参数 θ ，以及时刻 t （或者说把它坍缩入 $\phi_t(x)$ 当中），所以

$$\frac{d\phi_t(x)}{dt} = v(\phi_t(x)) \quad (2)$$

其中， $\phi_0(x) = x$ ， x 为训练数据点 $x = (x^1, x^2, \dots, x^d) \in R^d$

现在，让我们对里面的量，使用更为数学化的表达，对于微分函数 v ，我们称为**向量场**

而 $\phi_t(x)$ 可以视为 t 时刻对应的图像数据，即对**变量替换定理**，有

$$p_t = p_0(\phi_t^{-1}(x)) \det \left[\frac{\partial \phi_t^{-1}}{\partial x}(x) \right] \quad (3)$$

对满足Eq.(3)的向量场对应的 ϕ , 则称向量场 v 生成**概率密度路径** p_t (随时间变化而变化, 所以在时间上是一条路径)

证明向量场 v 是否生成概率路径 p_t 的一种方法是使用连续性方程, 即

$$\frac{d}{dt} p_t(x) + \operatorname{div}(p_t(x)v_t(x)) = 0 \quad (4)$$

其中 div 是散度, 即 $\operatorname{div} = \sum_{i=1}^d \frac{\partial}{\partial x^i}$

Eq.(4)怎么来的呢? 如果你熟悉Fokker-Plank方程, 想来一眼就可看出, 这其实就是Fokker-Plank方程忽略掉扩散项得来的 (不熟悉请参考[什么是Fokker-Planck方程?](#), 若无兴趣, 直接记住该方程式即可, 不影响下方推导)

Eq.(4)为充要条件, 能够确保向量场 v_t 生成 p_t , 为了下方的使用, 我们把散度提到等号右边

$$\frac{d}{dt} p_t(x) = -\operatorname{div}(p_t(x)v_t(x)) \quad (4)$$

3、Flow Matching (FM)

3.1、优化目标

前面说到, 如果使用CNF, 那么我们每一次都要使用数值解法迭代去反向传播, 这种训练速度显然是非常慢的, 让我们来考虑一种更为简单的方法

设 x_1 表示某种未知数据分布 $q(x_1)$ 分布的随机变量。我们假设我们只能获得来自 $q(x_1)$ 的数据样本, 但无法访问密度函数本身。

此外, 我们让 p_t 是一个概率路径, p_0 是一个简单的分布 (比如, 标准正态分布 $p_0(x) = N(x|0, I)$, 并让 p_1 在分布上近似等于 q)。稍后我们将讨论如何构建这样的路径。然后设计流匹配目标来匹配此目标概率路径, 这将允许我们从 p_0 流到 p_1

$$L_{FM}(\theta) = \mathbb{E}_{t,p_t(x)} \|v_t(x, \theta) - u_t(x)\|^2 \quad (5)$$

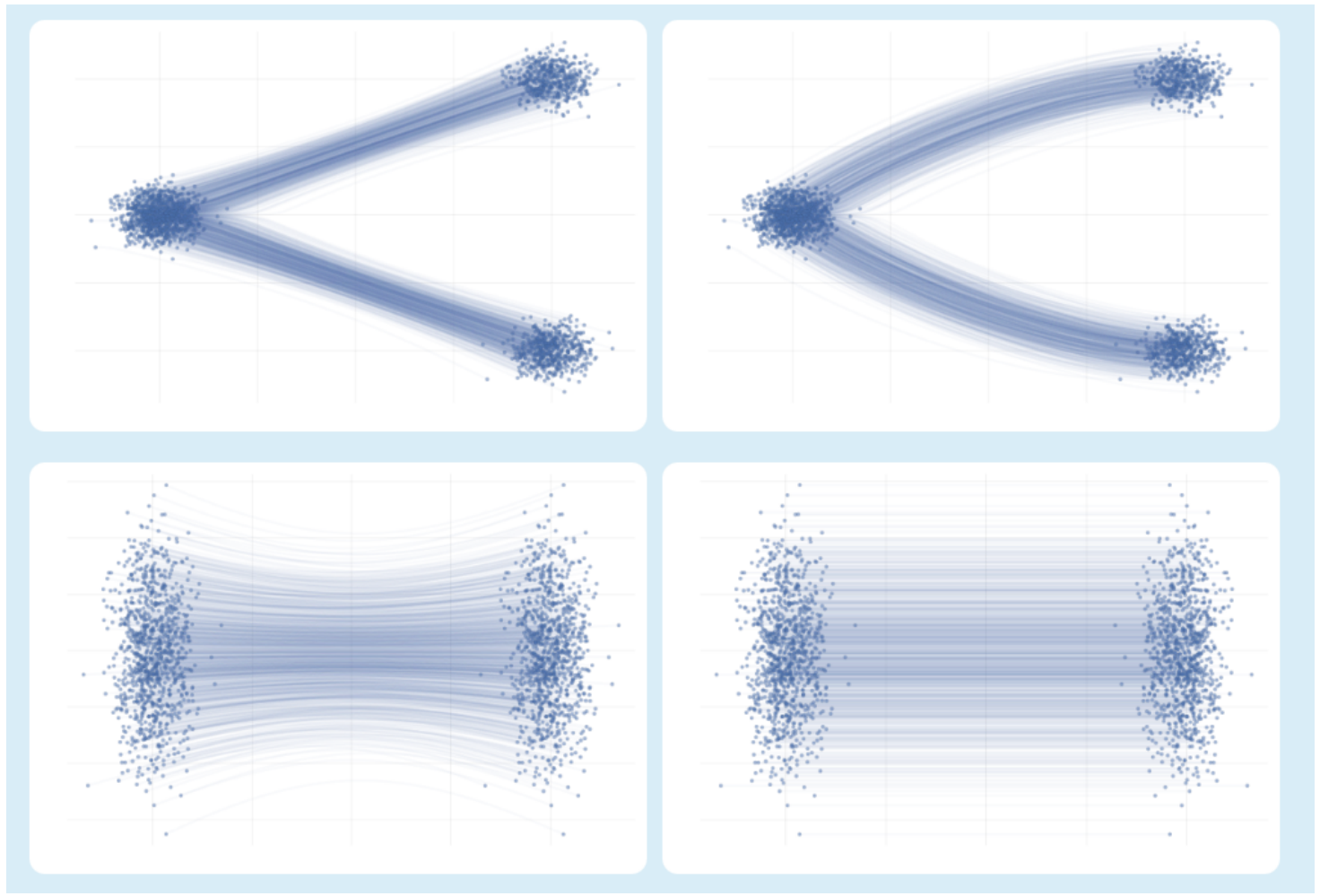
其中, 向量场 $u_t(x)$ 可生成对应的概率路径 $p_t(x)$

也就是说, 我们用一个神经网络去学习Eq.(4)中的 $v_t(x, \theta)$, θ 为神经网络的参数。 p_t 是一条概率路径, 但一定要满足在 p_0 是简单分布, 在 p_1 近似等于 q

这样的话, 如果我们训练完成, 那么就可以利用学习到的向量场 v , 通过Eq.(2), 即可采样从一个简单分布中采样一个初值 x_0 , 数值解法得到 x_1 , 由于 p_1 近似等于 q , 所以就近似得到了数据样本

然而, 这是建立在可以优化Eq.(5)的情况下, 现在我们的问题是, 我们并不知道 u_t 、 p_t 是什么, 根本没法训练

p_t 的形式是不唯一的, 我们有很多的路径满足这一要求



所以，现在的问题，就是想办法去构建 u_t, p_t

3.2、从条件概率路径和向量场去构建 p_t, u_t

假定一个条件概率路径 $p_t(x|x_1)$ ，并满足 $p_0(x|x_1) = p_0(x)$ ，而 $p_1(x|x_1)$ 时，让 $x_1 \approx x$ ，比如当 $p_1(x|x_1) = N(x_1, \sigma^2 I)$ ，里面的 σ 足够小的情况下， $x_1 \approx x$

即让我们假定 $p_t(x)$ ：

$$p_t(x) = \int p_t(x|x_1)q(x_1)dx_1 \quad (6)$$

对Eq.(6)，很显然，当t=1，则（上述曾定义过，t=1时， $p_1 \approx q$ ）

$$p_1(x) = \int p_1(x|x_1)q(x_1)dx_1 \approx q(x)$$

其中， $p_t(x|x_1)$ 所对应的向量场，我们记为 $u_t(x|x_1)$ ，即

$$\frac{d}{dt}p_t(x|x_1) = -\operatorname{div}(p_t(x|x_1)u_t(x|x_1)) \quad (7)$$

这样的话，我们可以利用连续性方程，反推出概率密度路径 p_t 所对应的向量场 u_t 的表达式

3.2.1、求证以Eq.(5)作为概率密度路径时的向量场 u_t

假定被积函数满足莱布尼兹积分法则，则我们可交换微分和积分

由Eq.(3)的连续性方程，我们可以反推出Eq.(6)所对应的向量场

那么，则有

$$\begin{aligned}
 \frac{d}{dt}p_t(x) &= \frac{d}{dt} \int p_t(x|x_1)q(x_1)dx_1 \\
 &= \int \frac{d}{dt}(p_t(x|x_1))q(x_1)dx_1 \\
 &= \int -\operatorname{div}(p_t(x|x_1)u_t(x|x_1))q(x_1)dx_1 \\
 &= -\int \operatorname{div}(p_t(x|x_1)u_t(x|x_1)q(x_1))dx_1 \\
 &= -\operatorname{div} \int p_t(x|x_1)u_t(x|x_1)q(x_1)dx_1 \\
 &= -\operatorname{div} \int \frac{u_t(x|x_1)p_t(x|x_1)q(x_1)}{p_t(x)}p_t(x)dx_1 \\
 &= -\operatorname{div} \left(p_t(x) \int \frac{u_t(x|x_1)p_t(x|x_1)q(x_1)}{p_t(x)}dx_1 \right) \\
 &= -\operatorname{div}(p_t(x)u_t(x))
 \end{aligned}$$

从最后两个等号不难看出，有

$$u_t(x) = \int \frac{u_t(x|x_1)p_t(x|x_1)q(x_1)}{p_t(x)}dx_1 \quad (8)$$

我们去构建了Eq.(6)这样的概率路径，以及得到与之对应的Eq.(8)向量场，有什么用呢？

其实，如果我们这样去表示的话，整个计算会相对容易很多，何以见得？我们把未知的概率路径 p_t 和向量场 u_t 分解成了条件概率路径和条件向量场的表达式。相对于边缘概率路径 p_t 和向量场 u_t ，条件的形式显然更容易去计算，因为他们依赖于数据点 x_1 ，而数据点 x_1 我们则是知道的

3.3、条件流匹配 (CFM)

理论上，如果我们可以算出Eq.(6)和Eq.(8)，那么就可以进行优化更新了，然而，我们做不到！为何？

因为里面有个积分，积分我们是处理不了的，因此，我们考虑一个条件流匹配 (CFM)

$$L_{CFM}(\theta) = \mathbb{E}_{t,q(x_1),p_t(x|x_1)} [||v_t(x, \theta) - u_t(x|x_1)||^2] \quad (9)$$

我们可以证明 L_{CFM} 的优化目标与 L_{FM} 是一致的，而Eq.(9)显然是相对容易优化的，因为它里面只有条件概率和条件向量场，而无需求边缘概率和向量场，也就无需再进行积分运算了

3.3.1、证明 L_{CFM} 与 L_{FM} 目标一致性

先来看 L_{FM} 的训练目标

$$\begin{aligned} L_{FM}(\theta) &= \mathbb{E}_{t,p_t(x)} \|v_t(x, \theta) - u_t(x)\|^2 \\ &= \mathbb{E}_{t,p_t(x)} [\|v_t(x, \theta)\|^2 - 2v_t(x, \theta)^T u_t(x) + \|u_t(x)\|^2] \\ &= \underbrace{\mathbb{E}_{t,p_t(x)} [\|v_t(x, \theta)\|^2]}_{\textcircled{Y}} - \underbrace{\mathbb{E}_{t,p_t(x)} [2v_t(x, \theta)^T u_t(x)]}_{\textcircled{Z}} + \underbrace{\mathbb{E}_{t,p_t(x)} [\|u_t(x)\|^2]}_{\text{与}\theta\text{无关}} \end{aligned}$$

接着看 $L_{CFM}(\theta)$ 的

$$\begin{aligned} L_{CFM}(\theta) &= \mathbb{E}_{t,q(x_1), p_t(x|x_1)} [\|v_t(x, \theta) - u_t(x|x_1)\|^2] \\ &= \underbrace{\mathbb{E}_{t,q(x_1), p_t(x|x_1)} [\|v_t(x, \theta)\|^2]}_{\textcircled{Y}} - \underbrace{\mathbb{E}_{t,q(x_1), p_t(x|x_1)} [2v_t(x, \theta)^T u_t(x|x_1)]}_{\textcircled{Z}} + \underbrace{\mathbb{E}_{t,q(x_1), p_t(x|x_1)} [\|u_t(x|x_1)\|^2]}_{\text{与}\theta\text{无关}} \end{aligned}$$

这样的话，其实我们只需要证明前面两项相等即可（先看 L_{FM} 的第一项，为书写简便，我们暂时忽略掉关于t的积分）

$$\begin{aligned} \mathbb{E}_{t,p_t(x)} [\|v_t(x, \theta)\|^2] &= \int \|v_t(x, \theta)\|^2 p_t(x) dx \\ &= \int \|v_t(x, \theta)\|^2 p_t(x|x_1) q(x_1) dx_1 dx \\ &= \mathbb{E}_{q(x_1), p_t(x|x_1)} [\|v(x, \theta)\|^2] \end{aligned}$$

容易看到如果把时间t加入回去，那么刚好等于 L_{CFM} 里面的第一项

再来看 L_{FM} 的第二项（依然暂时忽略掉t的积分）

$$\begin{aligned} \mathbb{E}_{t,p_t(x)} [2v_t(x, \theta)^T u_t(x)] &= \int 2v_t(x, \theta)^T u_t(x) p_t(x) dx \\ &= \int 2v_t(x, \theta)^T \int \frac{u_t(x|x_1) p_t(x|x_1) q(x_1)}{p_t(x)} dx_1 p_t(x) dx \\ &= \int 2v_t(x, \theta)^T \int \frac{u_t(x|x_1) p_t(x|x_1) q(x_1)}{p_t(x)} p_t(x) dx_1 dx \\ &= \int 2v_t(x, \theta)^T \int u_t(x|x_1) p_t(x|x_1) q(x_1) dx_1 dx \\ &= \iint 2v_t(x, \theta)^T u_t(x|x_1) p_t(x|x_1) q(x_1) dx_1 dx \\ &= \mathbb{E}_{q(x_1), p(x|x_1)} [2v_t(x, \theta)^T u_t(x|x_1)] \end{aligned}$$

把时间t加入回去，那么结果刚好等于 L_{CFM} 的第二项

由此，得证 L_{CFM} 与 L_{FM} 目标一致

3.4、条件概率路径和向量场

考虑到Eq.(9)的优化目标，为了真正应用起来，我们仍然需要为条件概率路径和条件向量场选择具体的形式

比如，我们假设条件概率路径是高斯分布，即

$$p_t(x|x_1) = N(x|\mu_t(x_1), \sigma_t(x_1)^2 I) \quad (10)$$

其中， $\mu : [0, 1] \times \mathbb{R}^d \rightarrow \mathbb{R}^d$ 是高斯分布的均值，随着时间变化而变化， σ 同理。根据前面的假设需求，有 $\mu_0(x_1) = 0, \sigma_0(x_1) = 1$ ，也就是在t=0时刻， $p_0(x|x_1) = N(x|0, I)$ ；而在时刻t=1，则 $\mu_1(x_1) = x_1, \sigma_1(x_1) = \sigma_{\min}$ ，如之前所说那般， σ_{\min} 是一个极其小的量

让我们考虑把高斯分布作为一个流变换（以 x_1 为条件），即

$$\psi_t(x) = \sigma_t(x_1)x + \mu_t(x_1) \quad (11)$$

如果把x当作是标准高斯分布（对应 x_0 ），那么整个变化就会变成高斯分布的重参数化形式，也就是相当于从Eq.(10)采样出数据点

有了上述表达，我们便可以得到向量场的微分表达

$$\frac{d}{dt}\psi_t(x) = u_t(\psi_t(x)|x_1)$$

通过 x_0 重参数化 $p_t(x|x_1)$ ，可得

$$\begin{aligned} L_{CFM}(\theta) &= \mathbb{E}_{t,q(x_1),p_t(x|x_1)} [|v_t(x, \theta) - u_t(x|x_1)|^2] = \mathbb{E}_{t,q(x_1),p_0(x_0)} [|v_t(\psi(x_0), \theta) - u_t(\psi(x_0)|x_1)|^2] \\ &= \mathbb{E}_{t,q(x_1),p_0(x_0)} \left[|v_t(\psi(x_0), \theta) - \frac{d}{dt}\psi_t(x_0)|^2 \right] \end{aligned}$$

如果一切都按照我们定义的那般，那么我们可以得出对应的向量场为

$$u_t(x|x_1) = \frac{\sigma'_t(x_1)}{\sigma_t(x_1)}(x - \mu_t(x_1)) + \mu'_t(x_1) \quad (12)$$

3.4.1、证明Eq.(12)

为了简单性，让我们考虑用 $w_t(x) = u_t(x|x_1)$

对于Eq.(11)，显然是可逆的，我们记

$$\psi_t(x) = \sigma_t(x_1)x + \mu_t(x_1) = y \rightarrow x = \frac{y - \mu_t(x_1)}{\sigma_t(x_1)} = \psi_t^{-1}(y) \quad (13)$$

所以

$$\frac{d}{dt}\psi_t(x) = \frac{d}{dt}\psi_t(\psi_t^{-1}(y)) = w_t(y)$$

对Eq.(11)关于t求导

$$\frac{d}{dt}\psi_t(x) = \sigma'_t(x_1)x + \mu'_t(x_1) = w_t(x)$$

由Eq.(13), 将上式的x代换掉, 则

$$w_t(y) = \sigma'_t(x_1)\frac{y - \mu_t(x_1)}{\sigma_t(x_1)} + \mu'_t(x_1) = \frac{\sigma'_t(x_1)}{\sigma_t(x_1)}(y - \mu_t(x_1)) + \mu'_t(x_1)$$

把y替换回x后, 即可得到

$$w(x) = u_t(x|x_1) = \frac{\sigma'_t(x_1)}{\sigma_t(x_1)}(x - \mu_t(x_1)) + \mu'_t(x_1) \quad (12)$$

得证Eq.(12)

4、实例应用

4.1、高斯条件概率路径的特殊实例 (VE、VP)

让我们考虑 (实际上就是我们以前讲过的VE SDE)

$$p_t(x|x_1) = N(x|x_1, \sigma_{1-t}^2 I)$$

其中 σ_t 是递增函数, $\sigma_0 = 0$ 和 $\sigma_1 \gg 1$ 。 $\mu_t(x_1) = x_1$, $\sigma_t(x_1) = \sigma_{1-t}$

根据Eq.(12), 我们即可得出对应的条件向量场

$$u_t(x|x_1) = -\frac{\sigma'_{1-t}(x_1)}{\sigma_{1-t}(x_1)}(x - x_1)$$

让我们考虑 (实际上就是我们以前讲过的VP SDE)

$$p_t(x|x_1) = N(x|\alpha_{1-t}x_1, (1 - \alpha_{1-t}^2)I)$$

其中, $\alpha_t = e^{-\frac{1}{2}T(t)}$, $T(t) = \int_0^1 \beta(s)ds$, β 是噪声尺度。 $\mu_t(x_1) = \alpha_{1-t}x_1, \sigma_t(x_1) = \sqrt{1 - \alpha_{1-t}^2}$

根据Eq.(12), 我们即可得出对应的向量场

$$u_t(x|x_1) = \frac{\alpha'_{1-t}}{1 - \alpha_{1-t}^2}(\alpha_{1-t}x - x_1) = -\frac{T'(1-t)}{2} \left[\frac{e^{-T(1-t)}x - e^{-\frac{1}{2}T(1-t)}x_1}{1 - e^{-T(1-t)}} \right]$$

论文提到, 由于这些概率路径之前是作为扩散过程的解推导出来的, 因此它们实际上不会在有限时间内达到真正的噪声分布。在实践中, $p_0(x)$ 只是通过适当的高斯分布进行近似, 用于采样和似然估计

论文提出了一种更稳定、更具鲁棒性的方法

4.2、最优传输条件向量场

让我们考虑

$$p_t(x|x_1) = N(x|tx_1, (1 - (1 - \sigma_{\min})t)^2 I)$$

即 $\mu_t(x) = tx_1, \sigma_t(x) = 1 - (1 - \sigma_{\min})t$

既如此, 我们也可得到对应的流变换 (重参数化)

$$\psi_t(x) = (1 - (1 - \sigma_{\min})t)x + tx_1 \quad (14)$$

依据Eq.(14), 可以导出对应的条件向量场

$$u_t(x|x_1) = \frac{x_1 - (1 - \sigma_{\min})x}{1 - (1 - \sigma_{\min})t}$$

并且, 依据Eq.(14), 有

$$\frac{d}{dt}\psi_t(x_0) = x_1 - (1 - \sigma_{\min})x_0$$

那么优化目标就可以化简成

$$\begin{aligned} L_{CFM}(\theta) &= \mathbb{E}_{t,q(x_1),p_0(x_0)} \left[||v_t(\psi(x_0), \theta) - \frac{d}{dt}\psi_t(x_0)||^2 \right] \\ &= \mathbb{E}_{t,q(x_1),p_0(x_0)} \left[||v_t(\psi(x_0), \theta) - (x_1 - (1 - \sigma_{\min})x_0)||^2 \right] \end{aligned}$$

这就是我们该条件下的优化目标

5、结束

好了，本篇文章到此为止，如有问题，还望指出，阿里嘎多！



6、参考

[流匹配简介 · 剑桥 MLG 博客 \(cam.ac.uk\)](#)

[Flow Matching For Generative Modeling-CSDN博客](#)

[Flow matching文献阅读（一） - 知乎 \(zhihu.com\)](#)